

1/28

FIG. 1

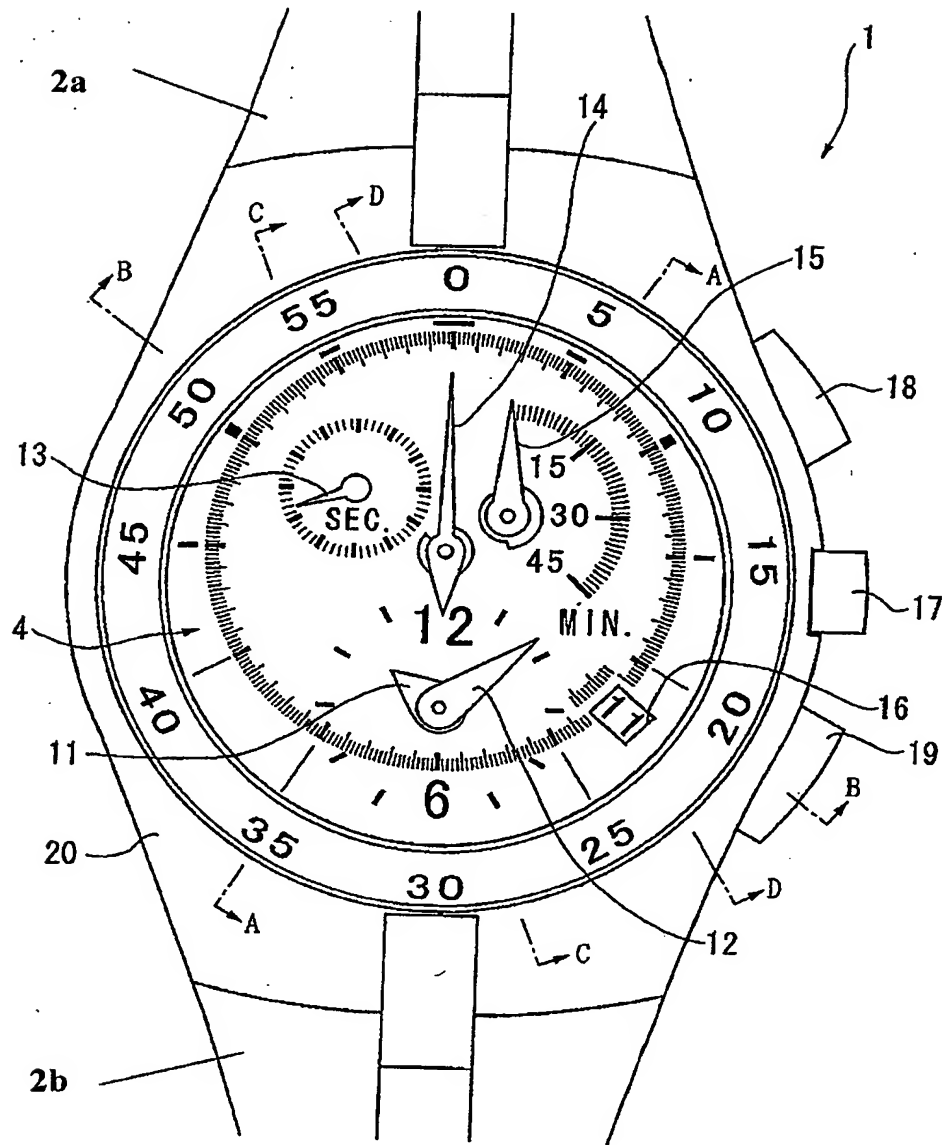


FIG. 2

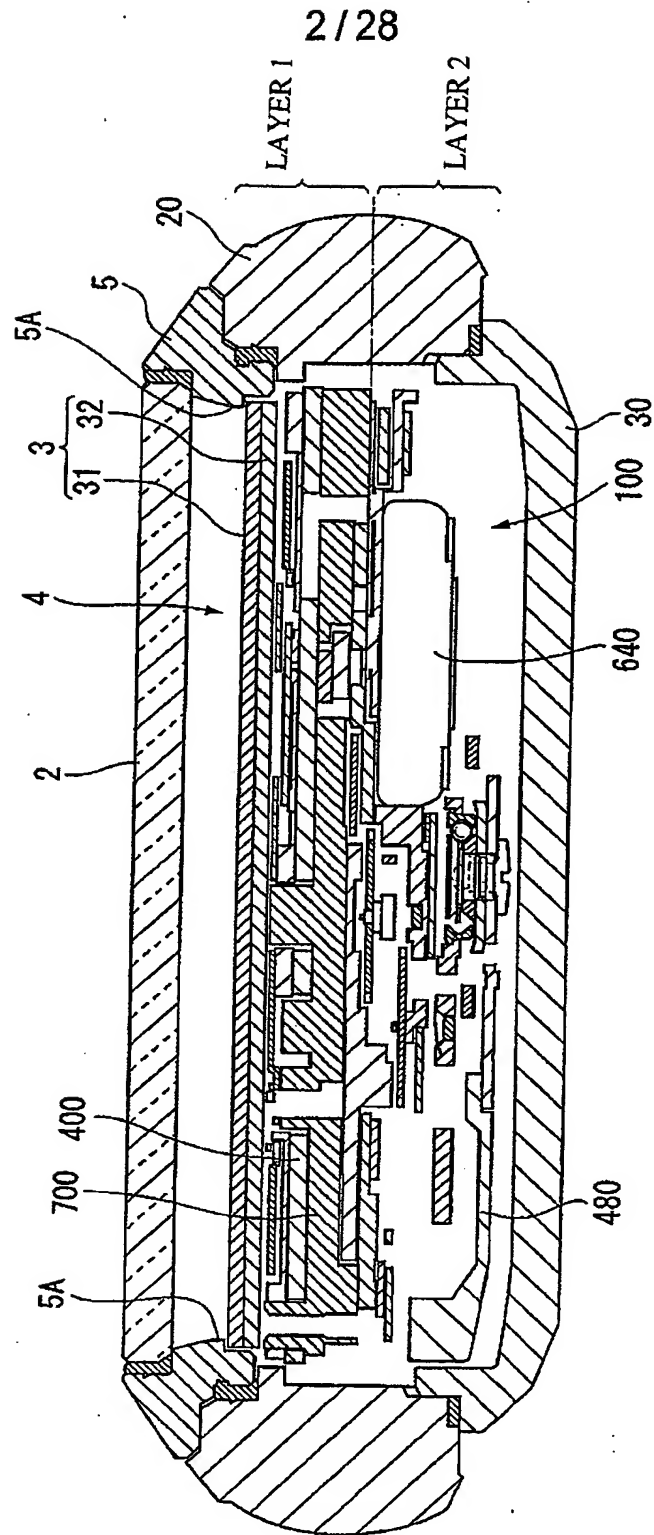


FIG. 3

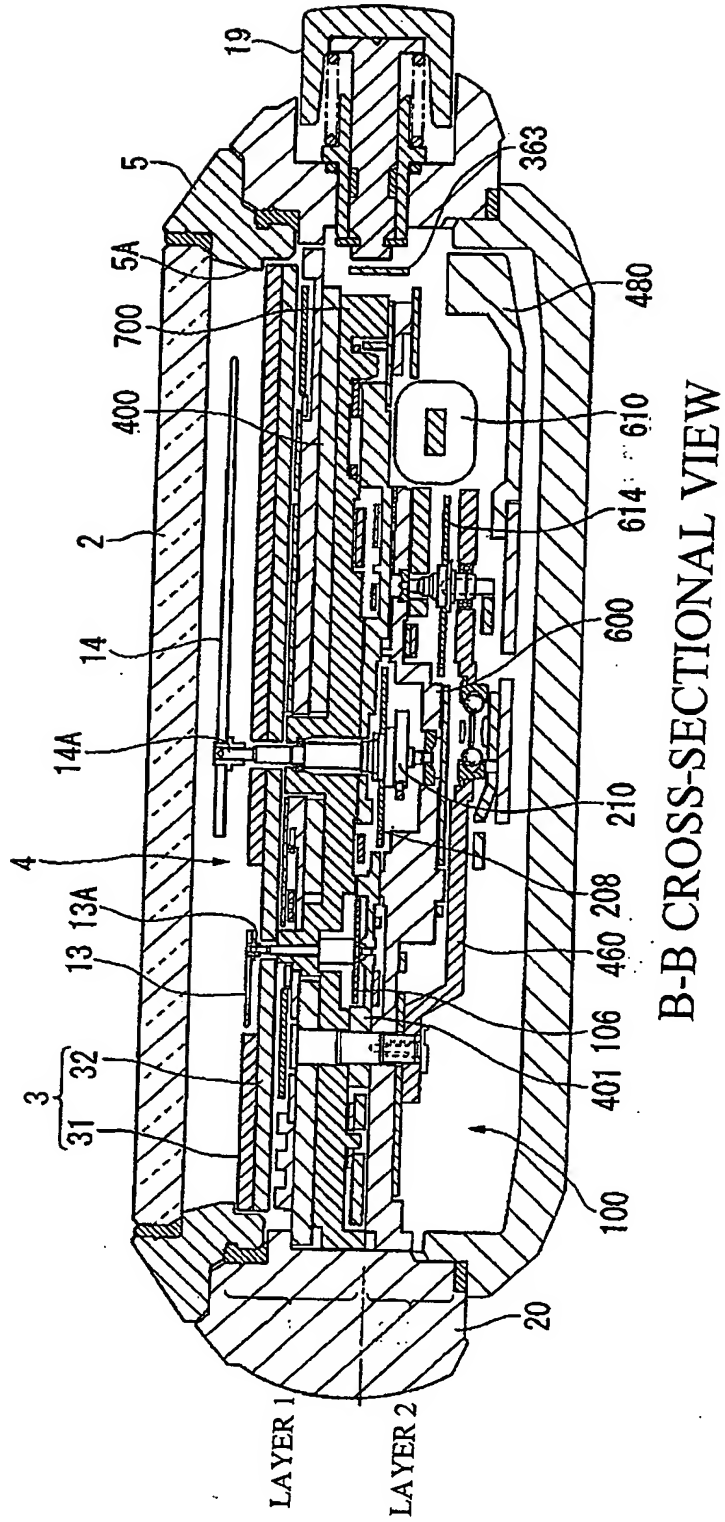


FIG. 4

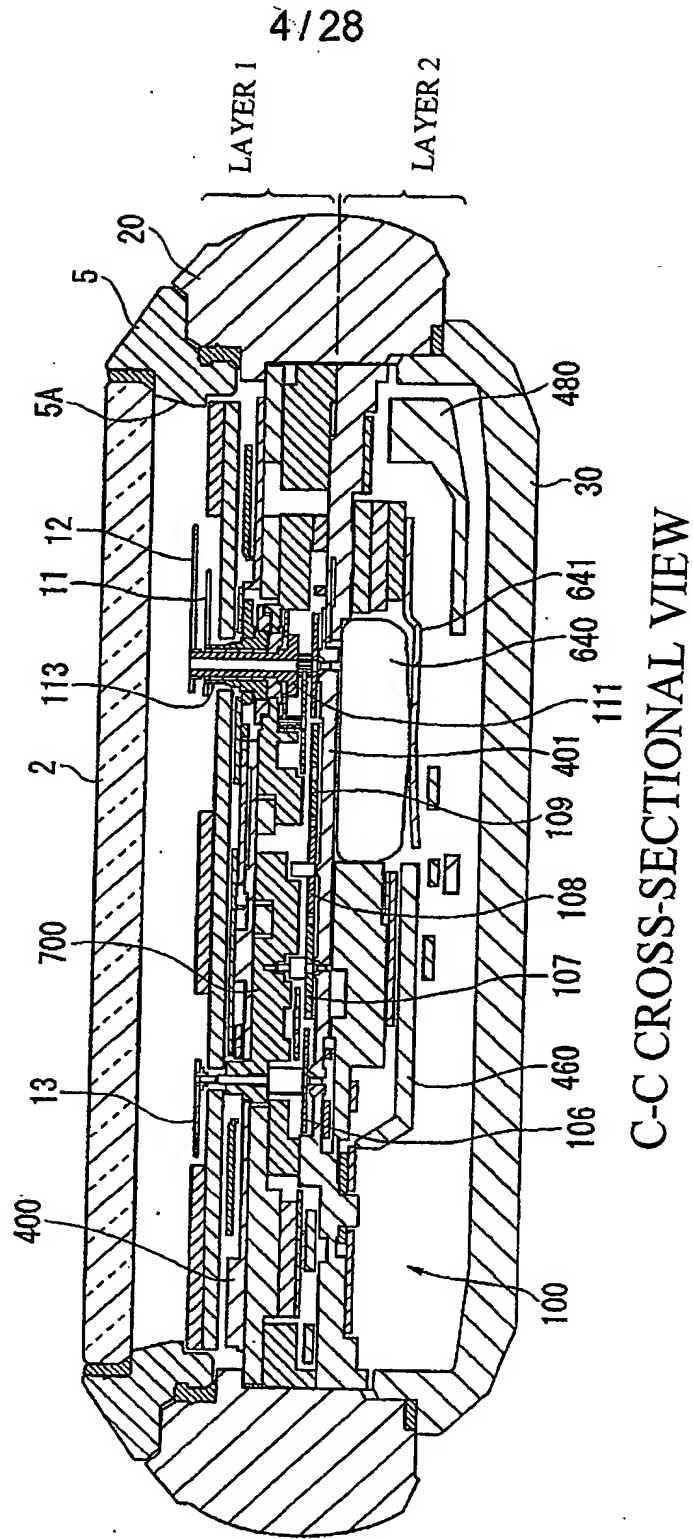
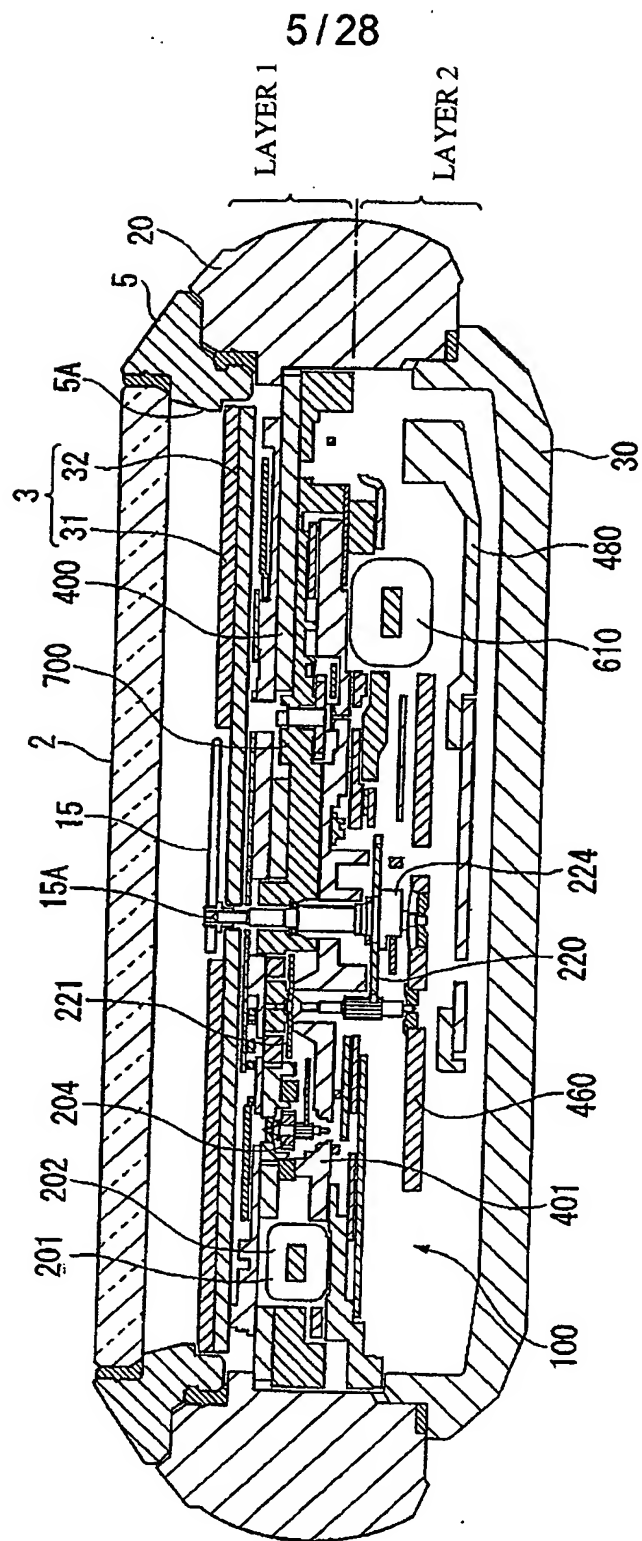


FIG. 5



D-D CROSS-SECTIONAL VIEW

6/28  
FIG. 6

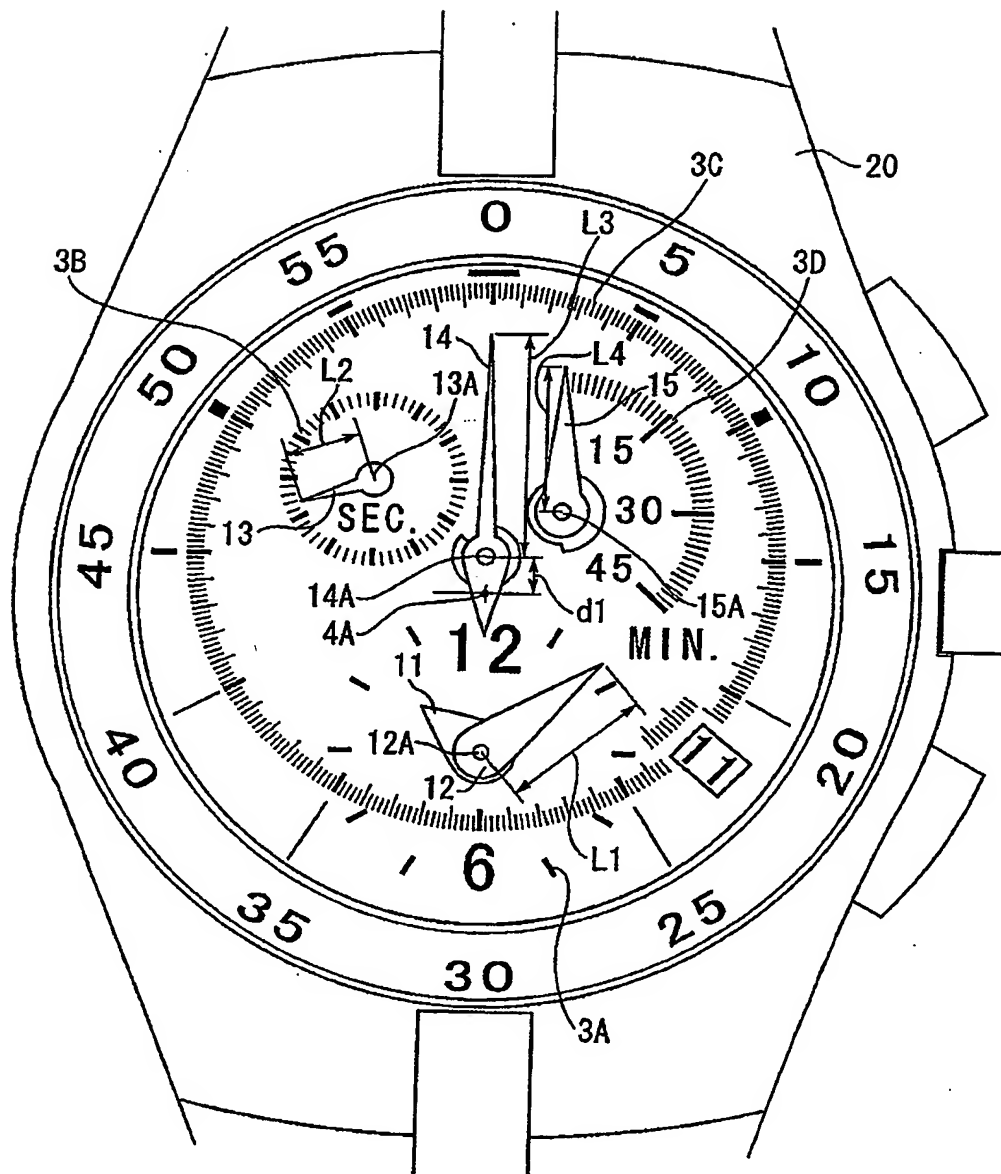


FIG. 7

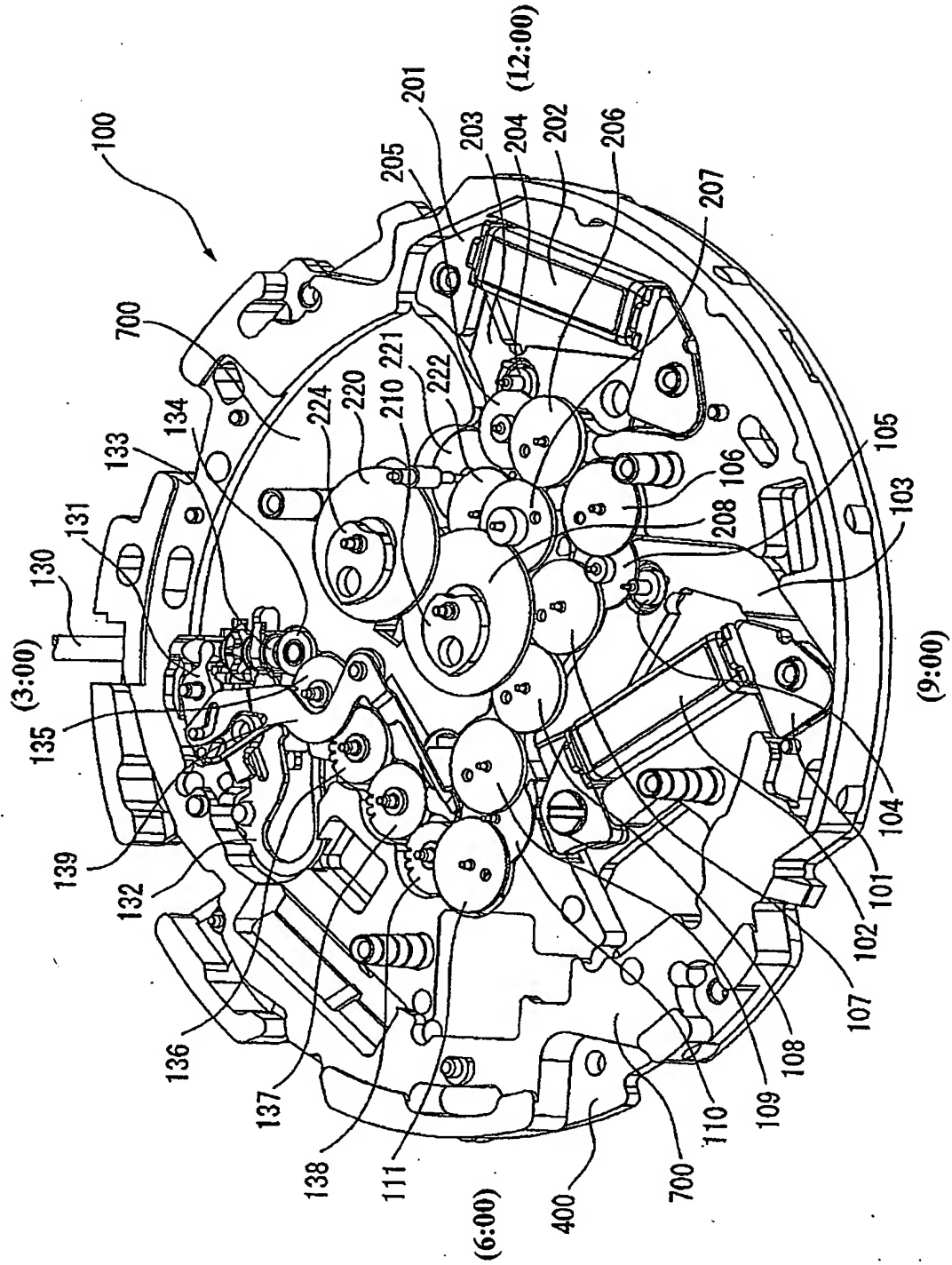


FIG. 8

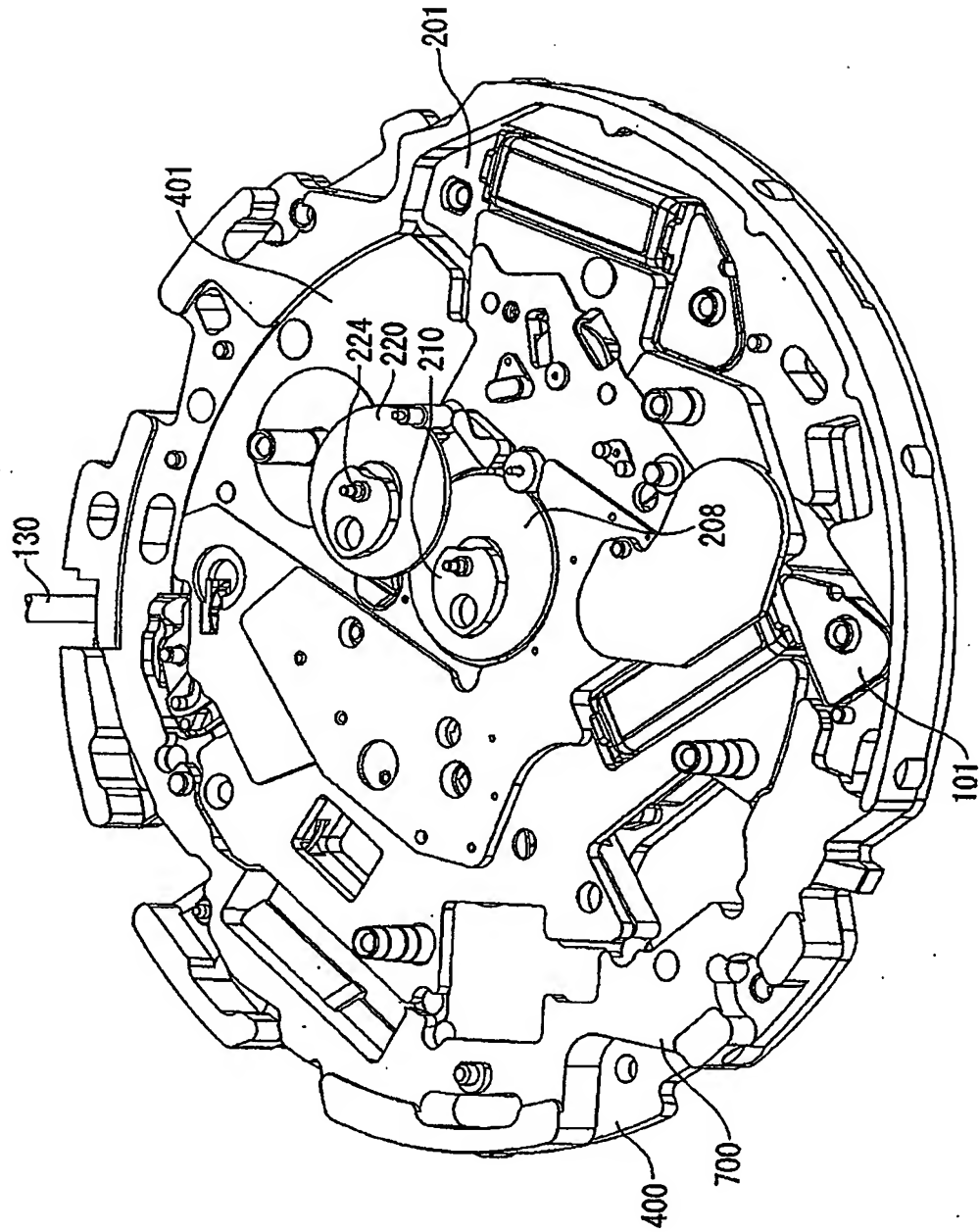




FIG. 9

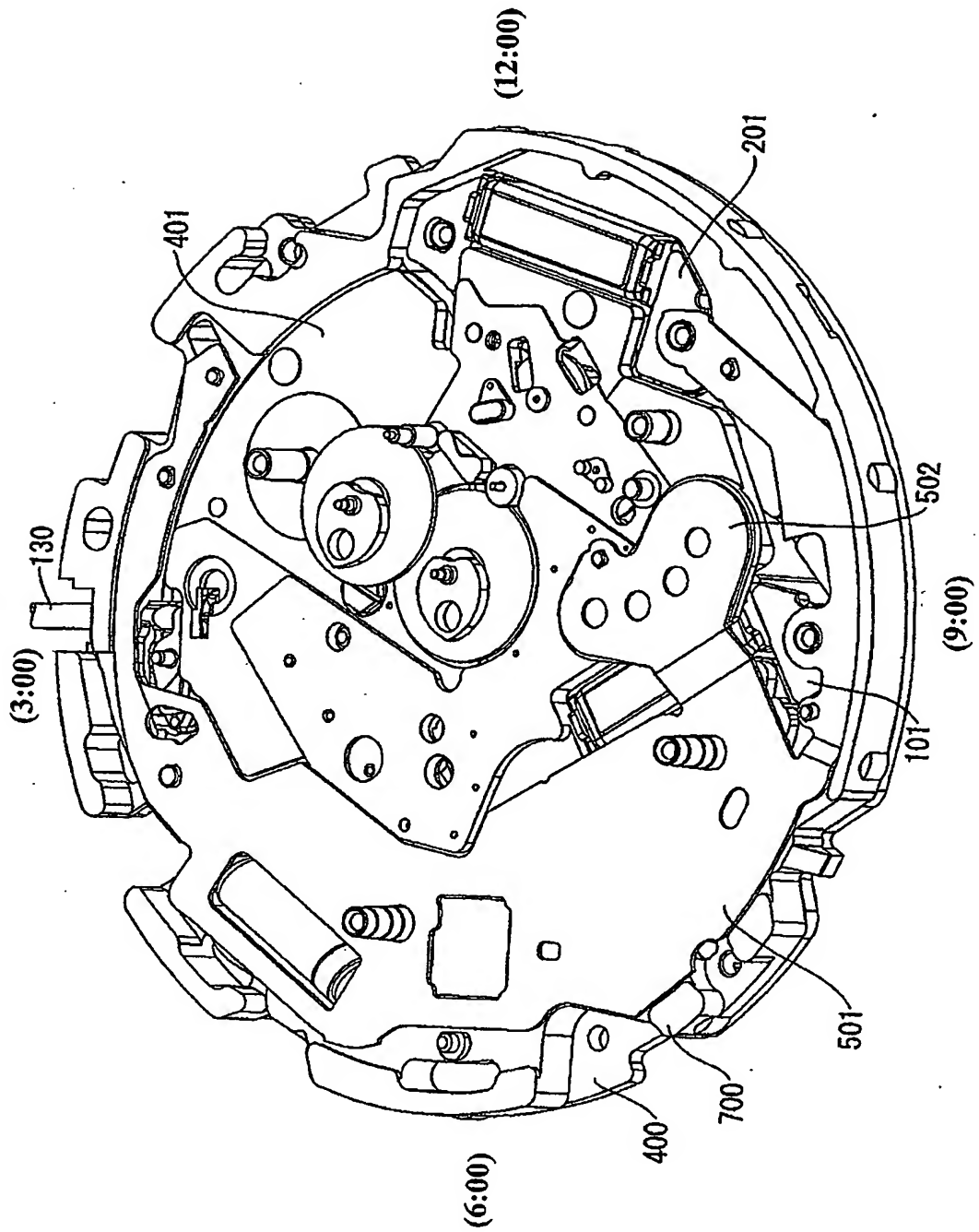


FIG. 10

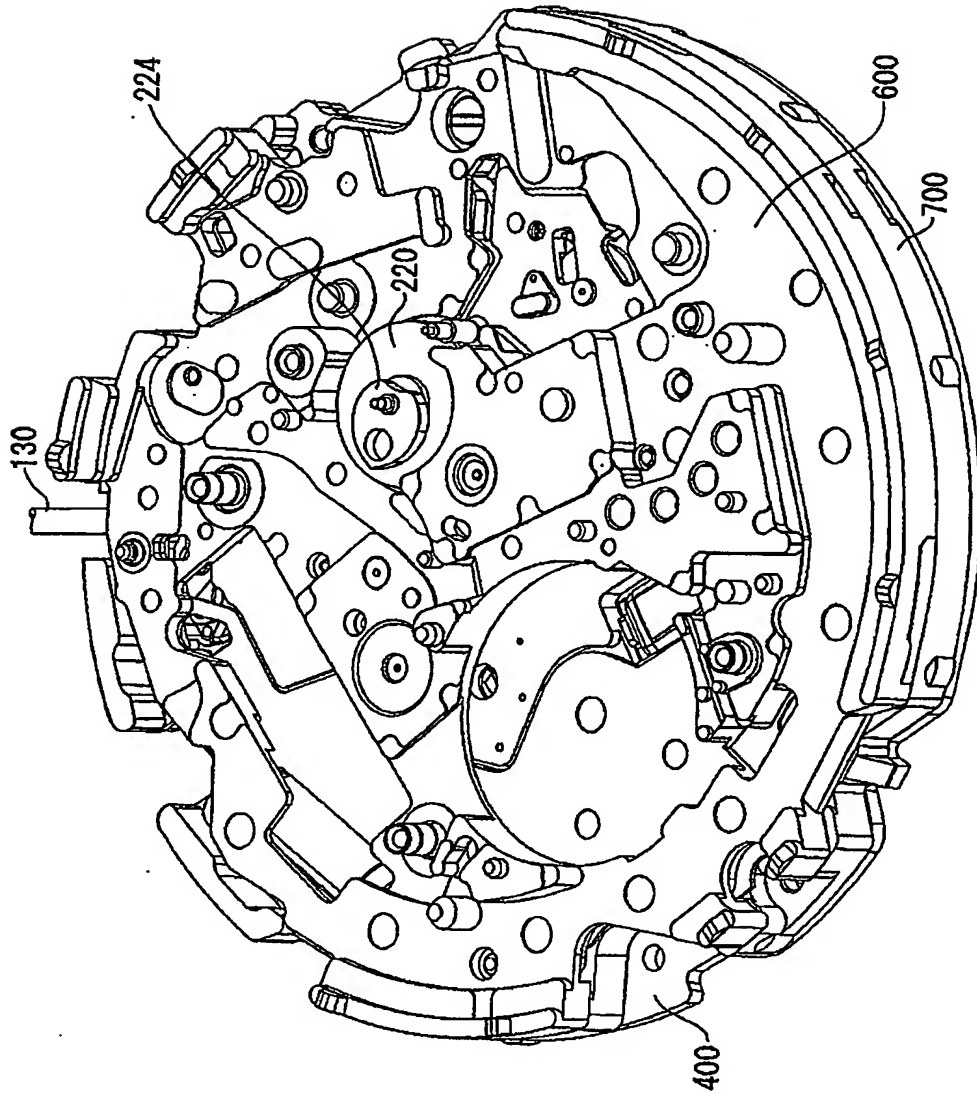


FIG. 11

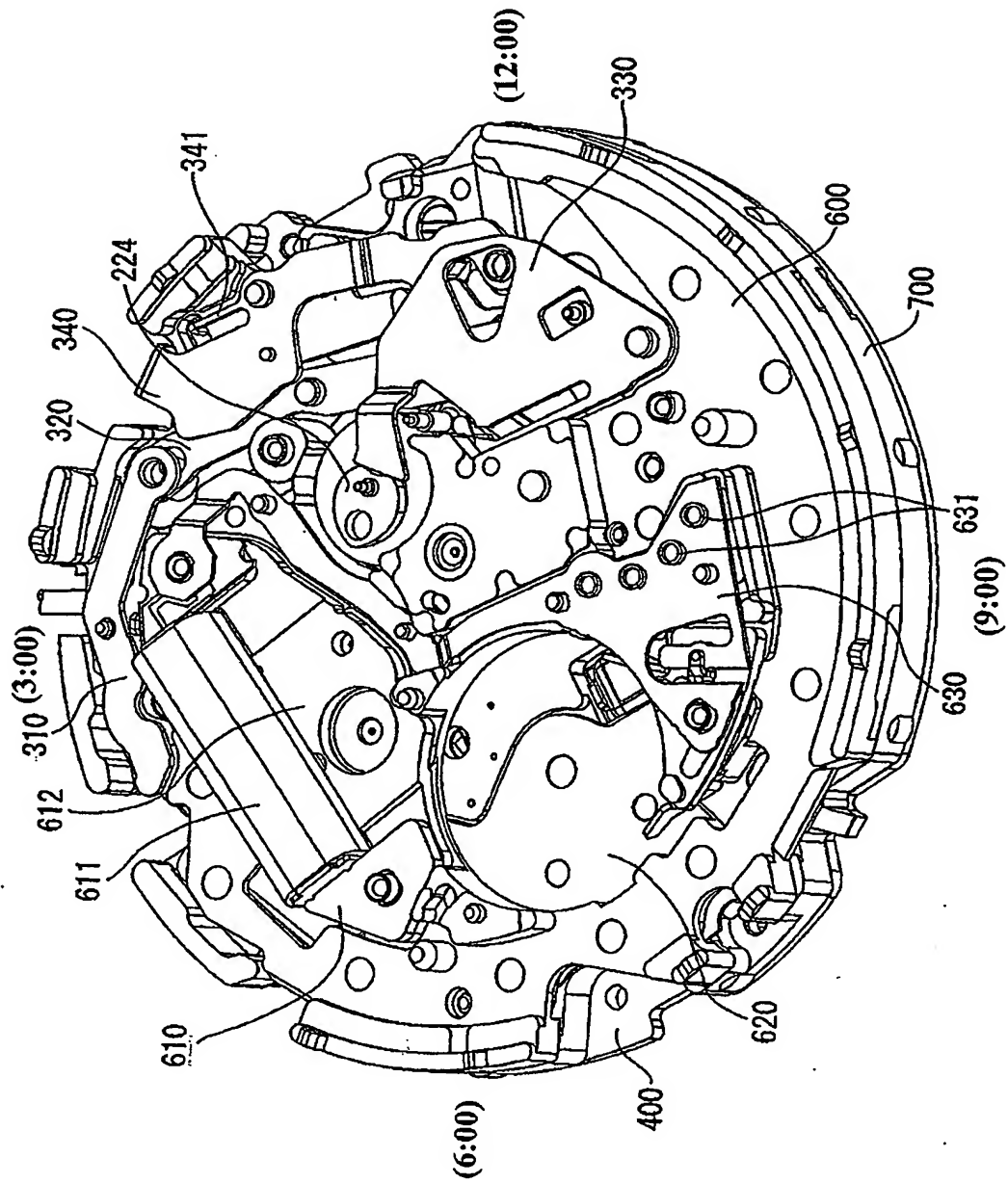


FIG. 12

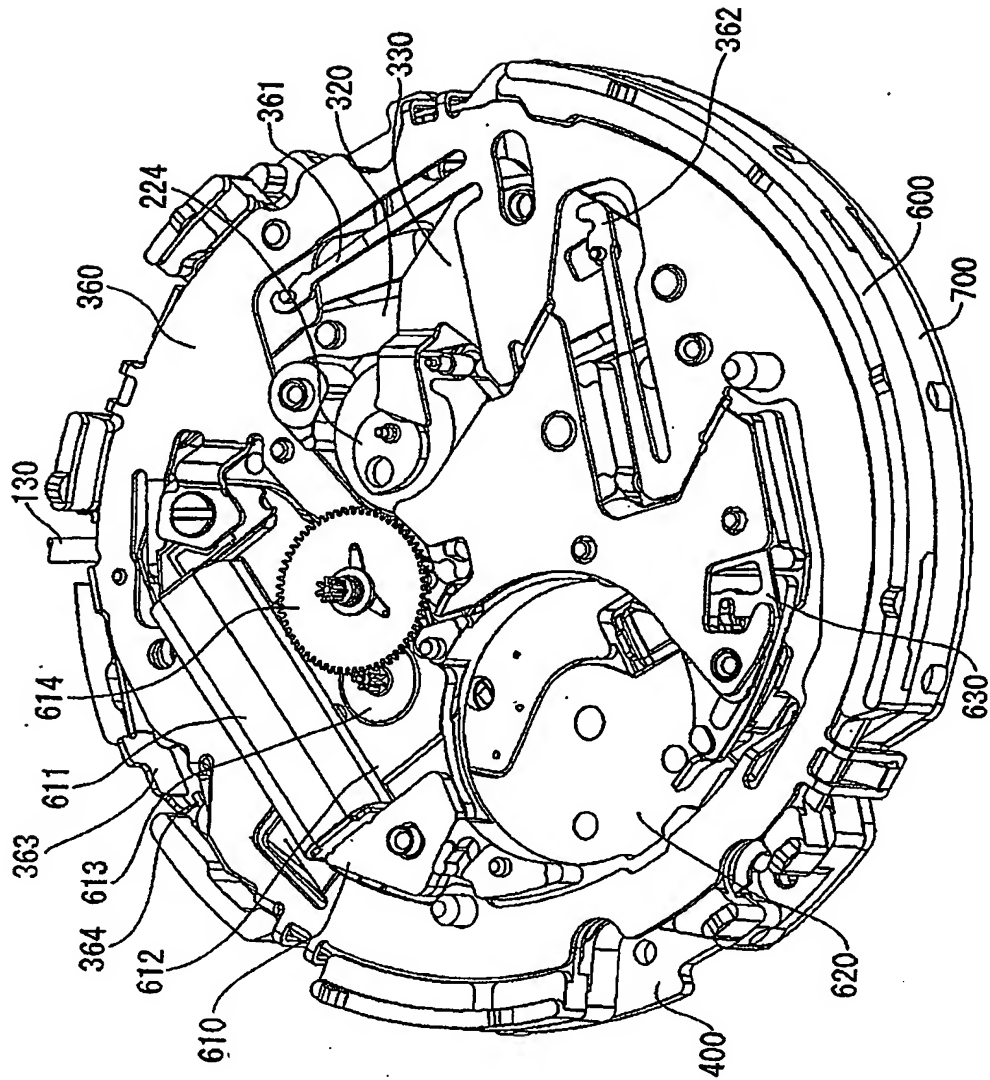
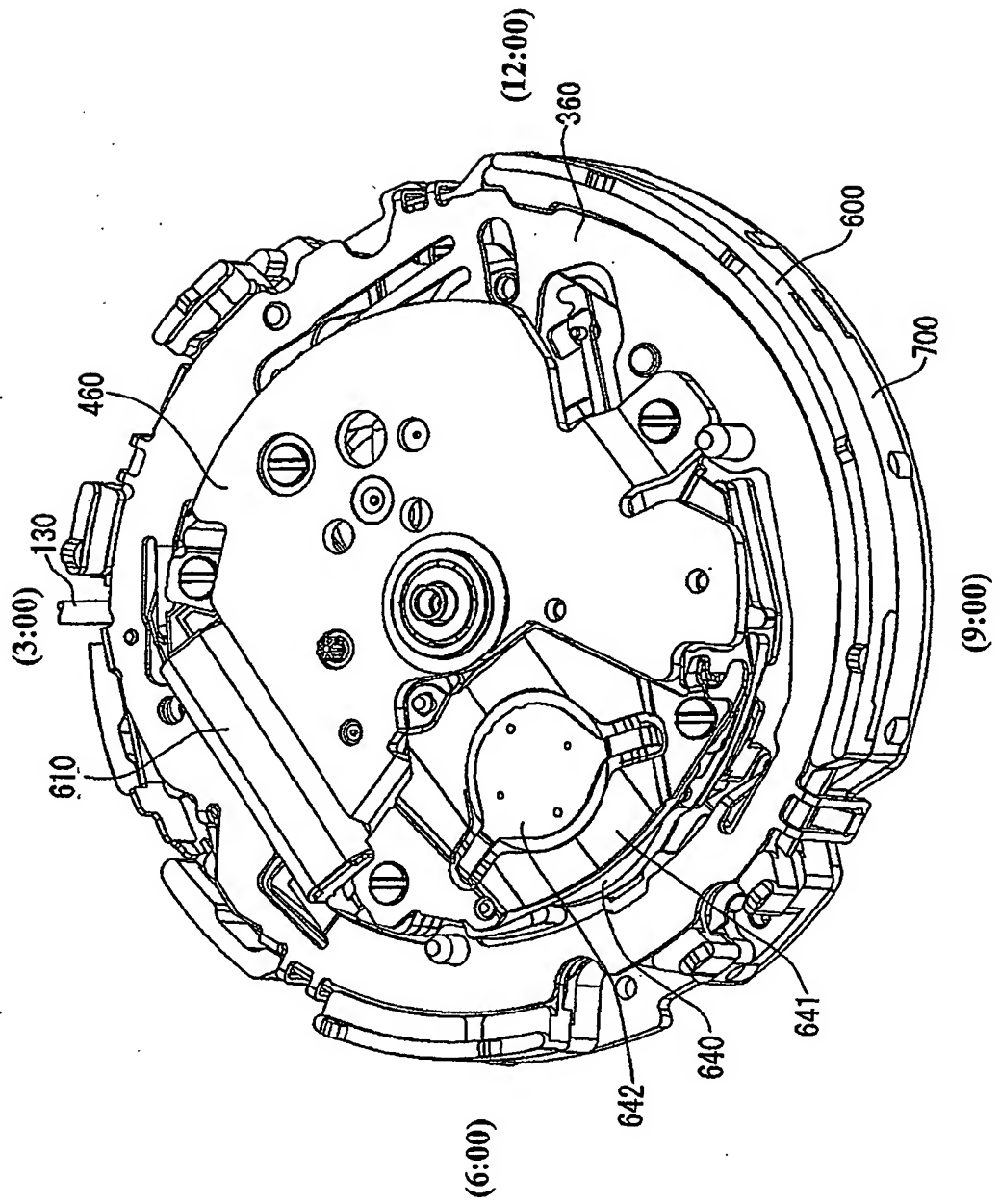


FIG. 13



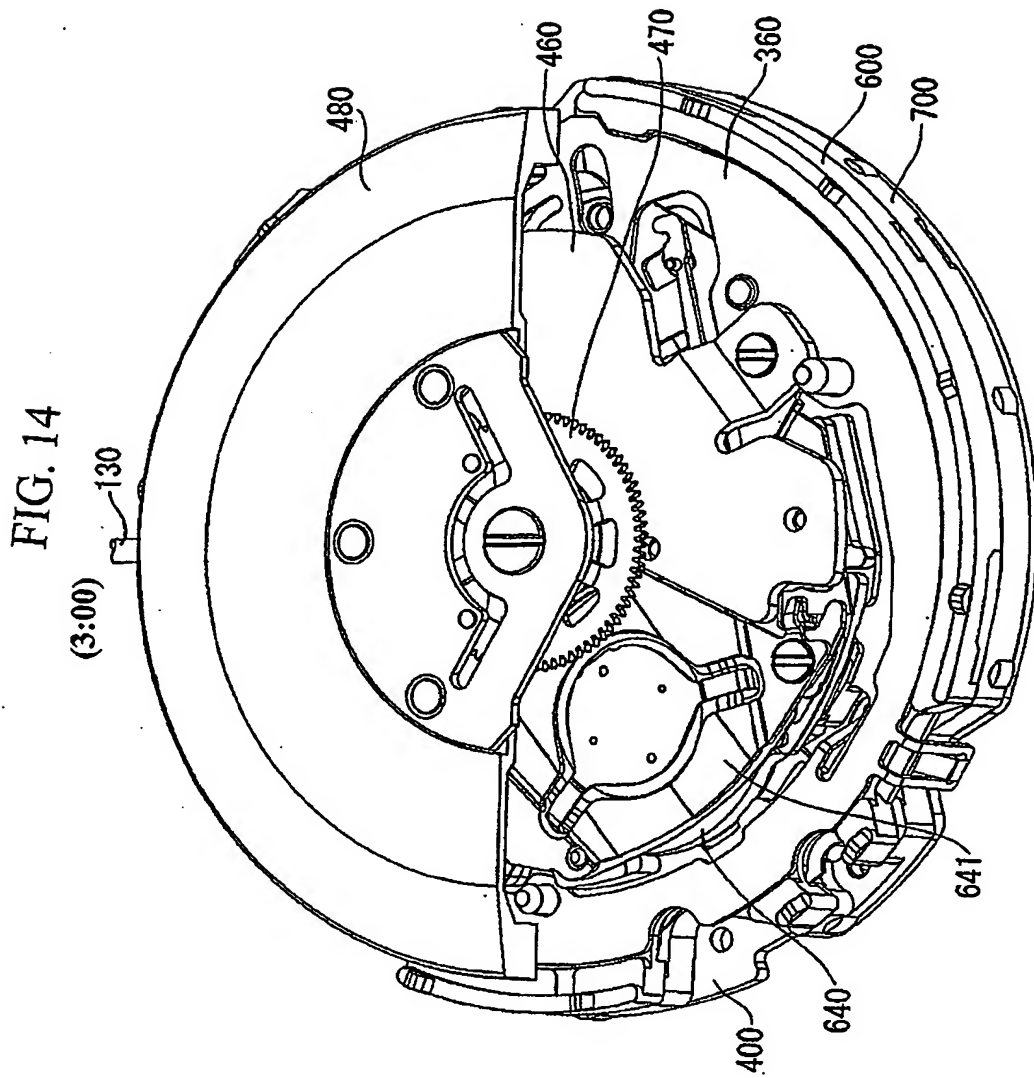


FIG. 15

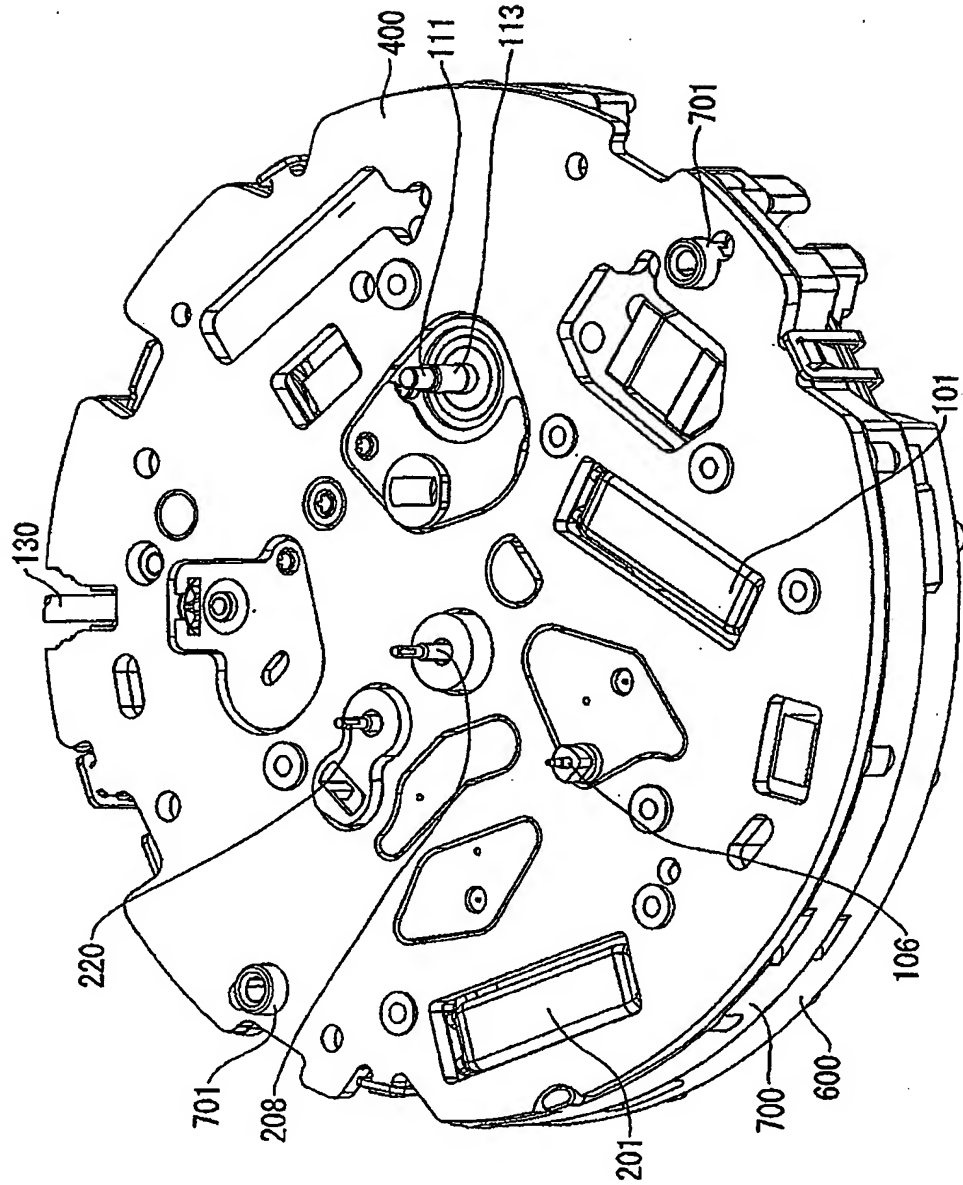


FIG. 16

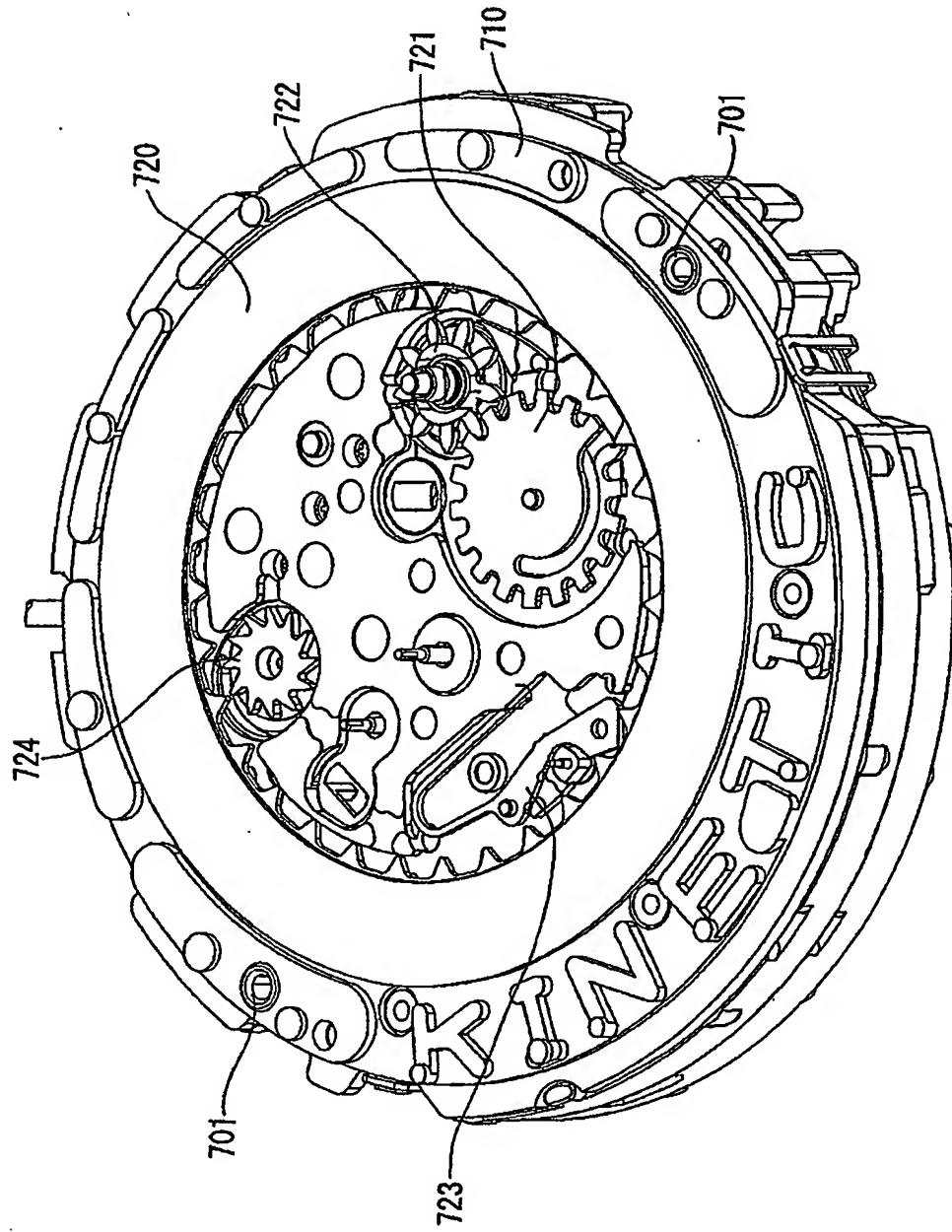
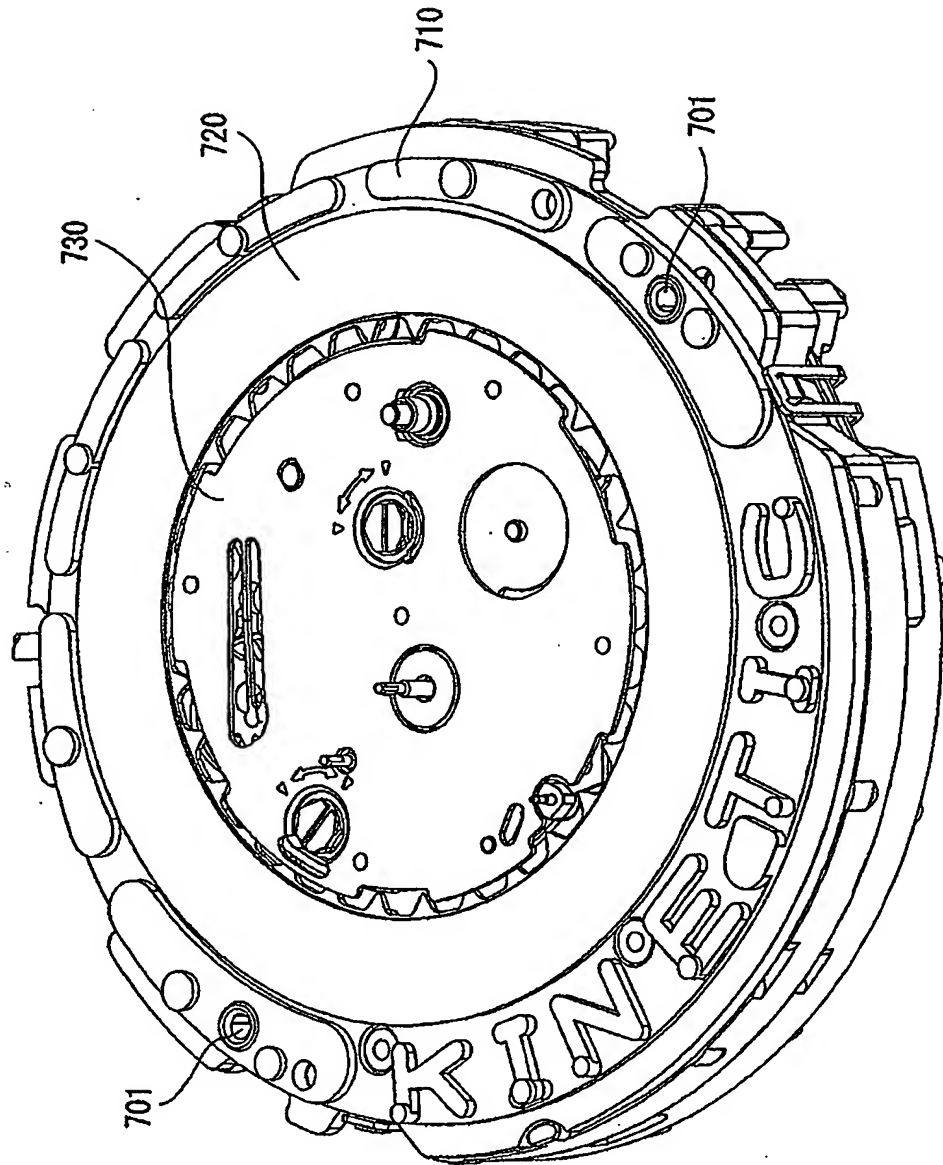




FIG. 17



18/28  
FIG. 18

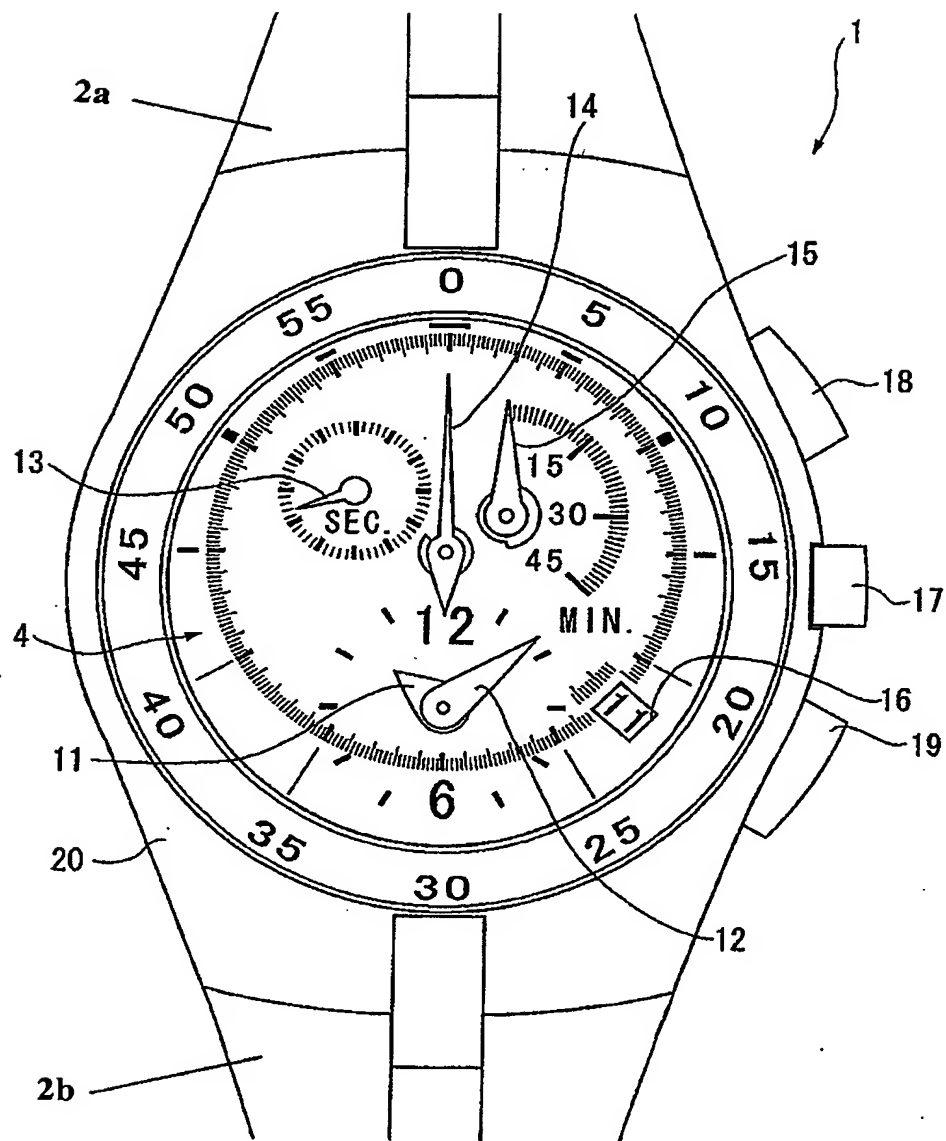


FIG. 19

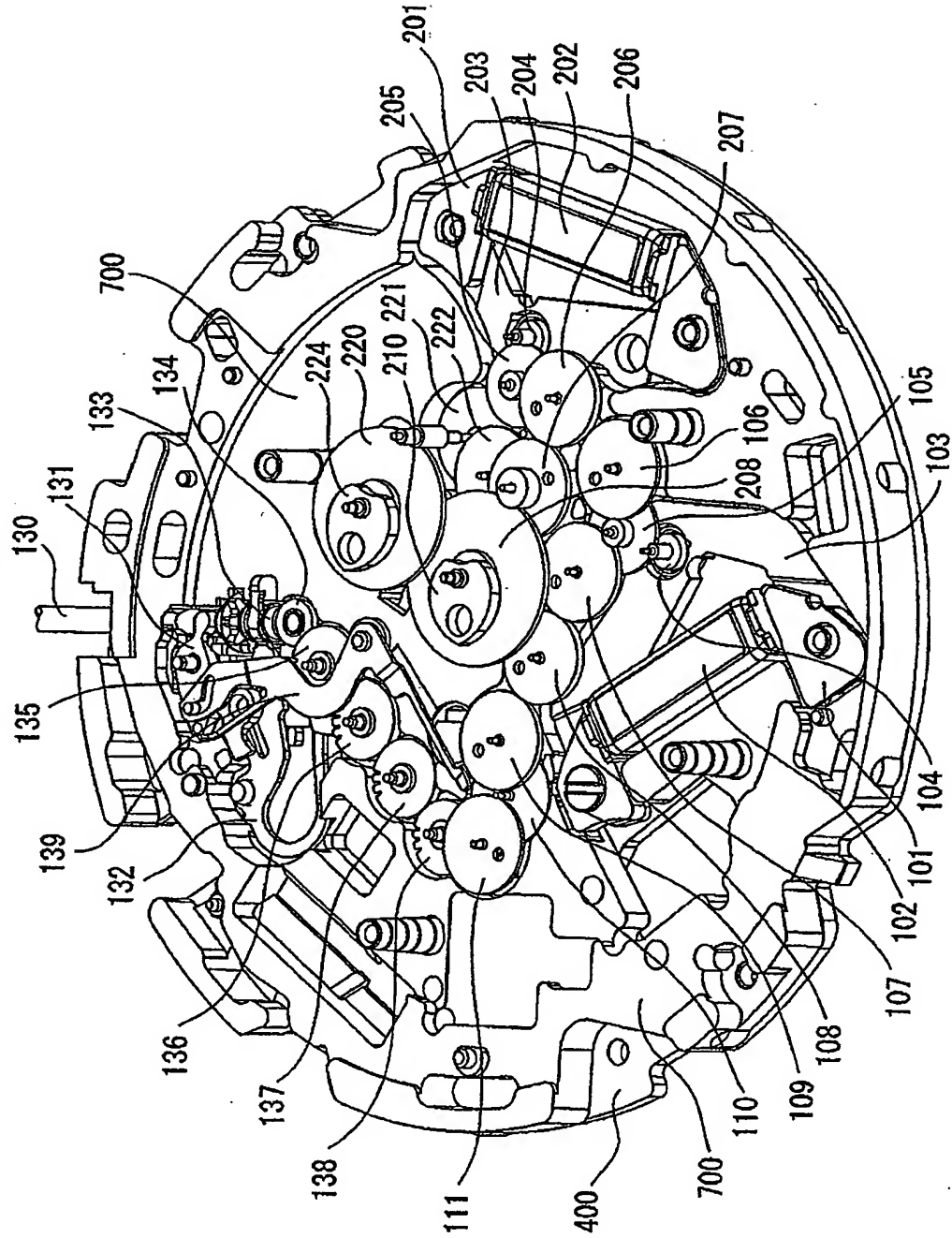


FIG. 20

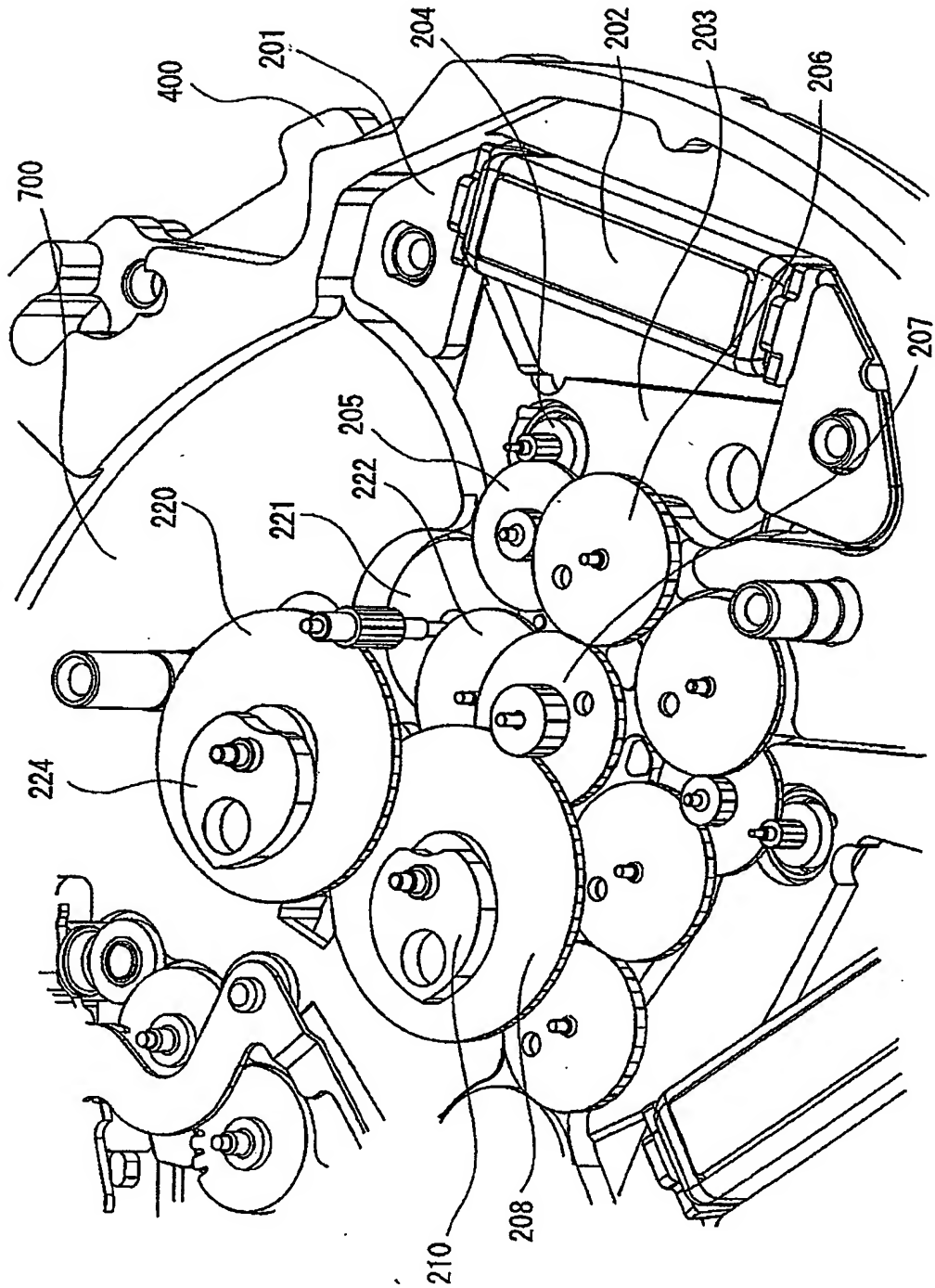
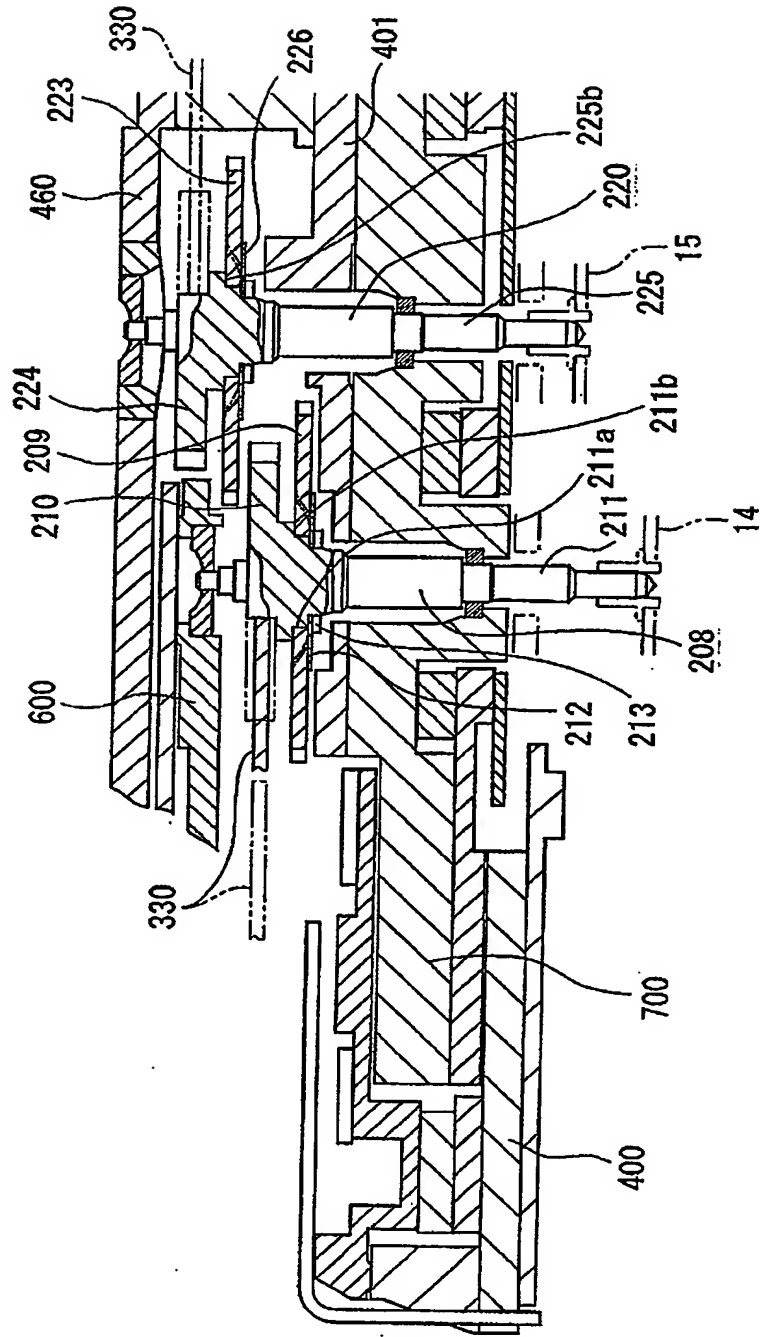


FIG. 21



22/28  
FIG. 22

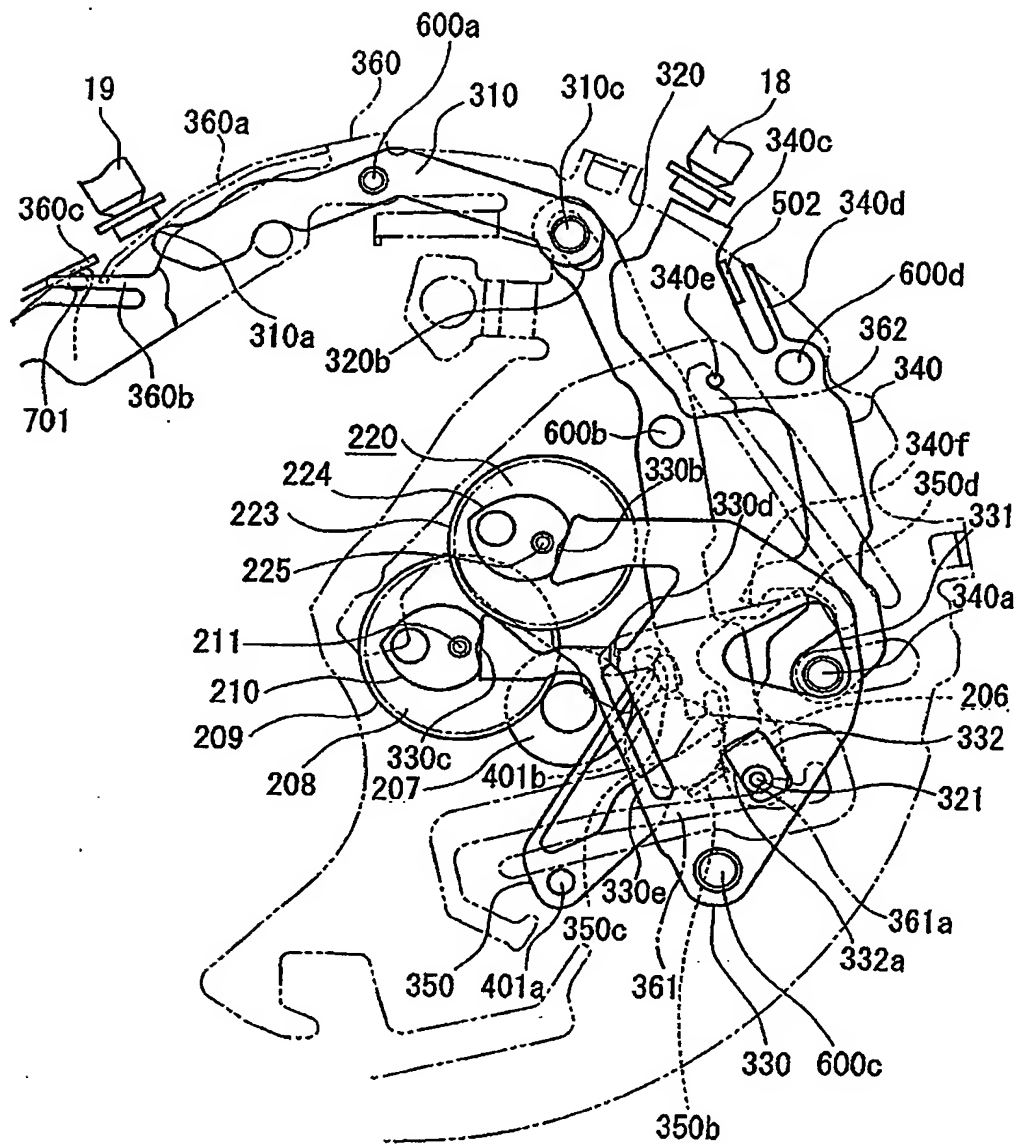
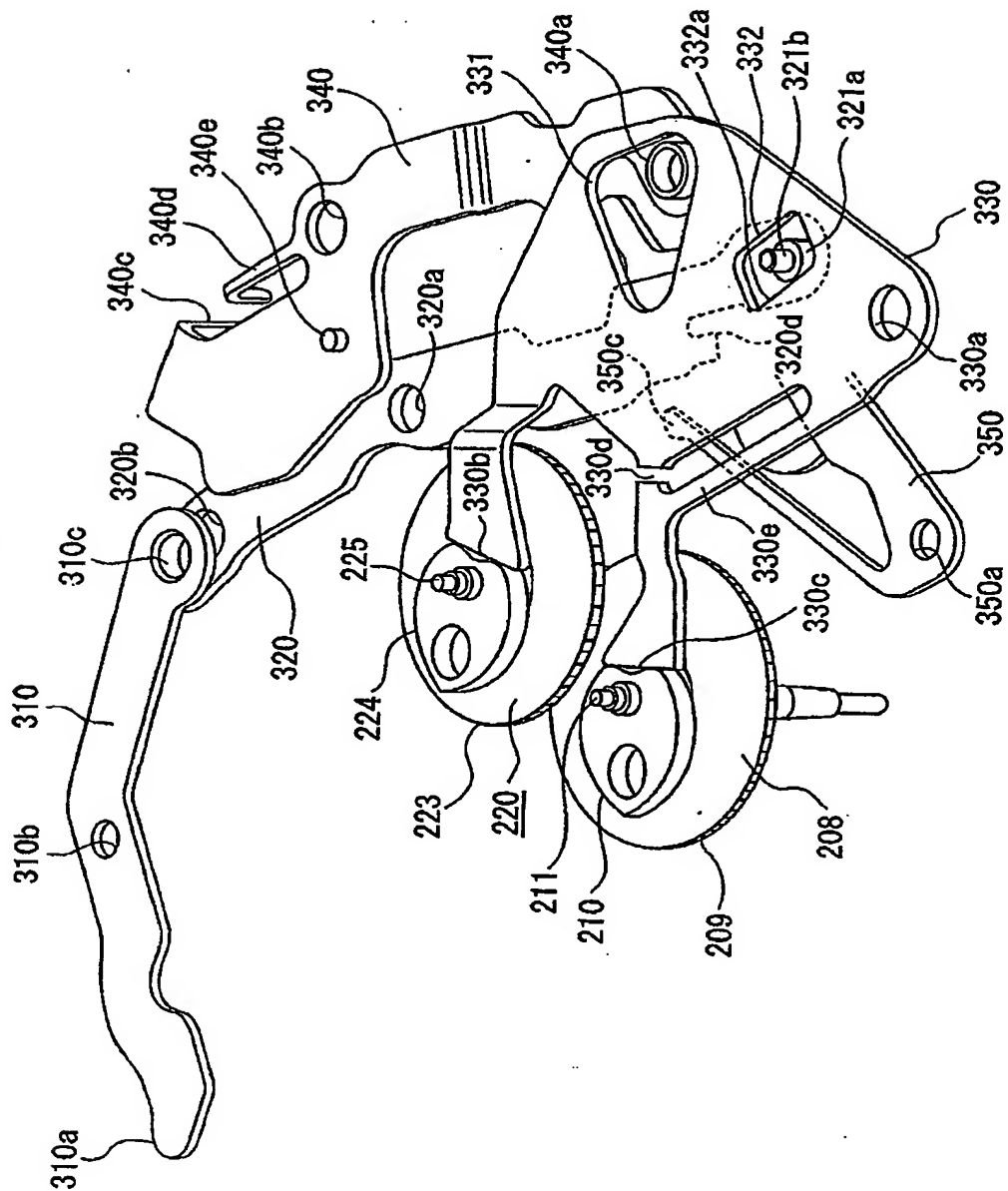
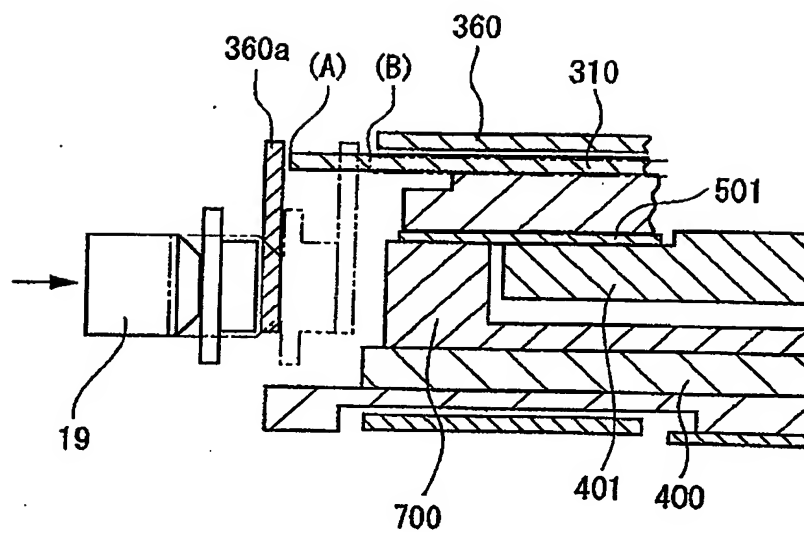


FIG. 23



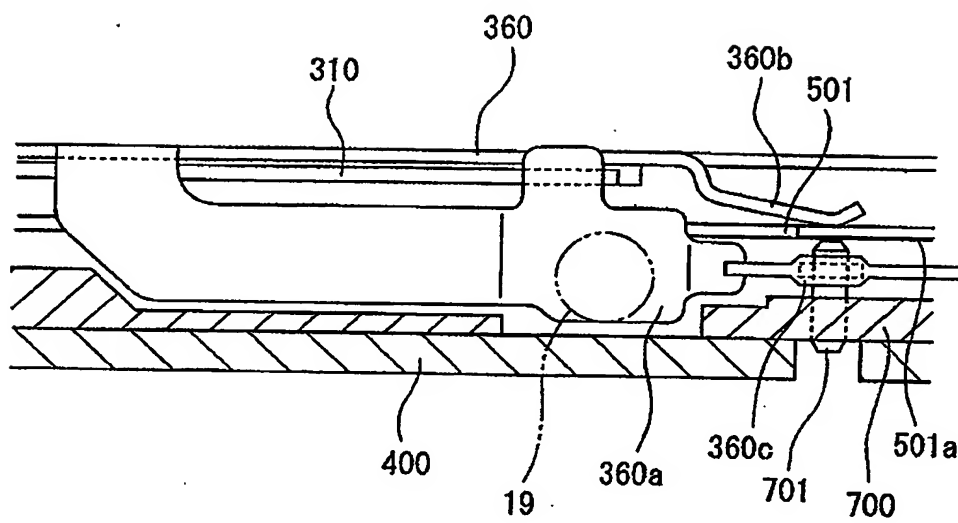
24/28

FIG. 24

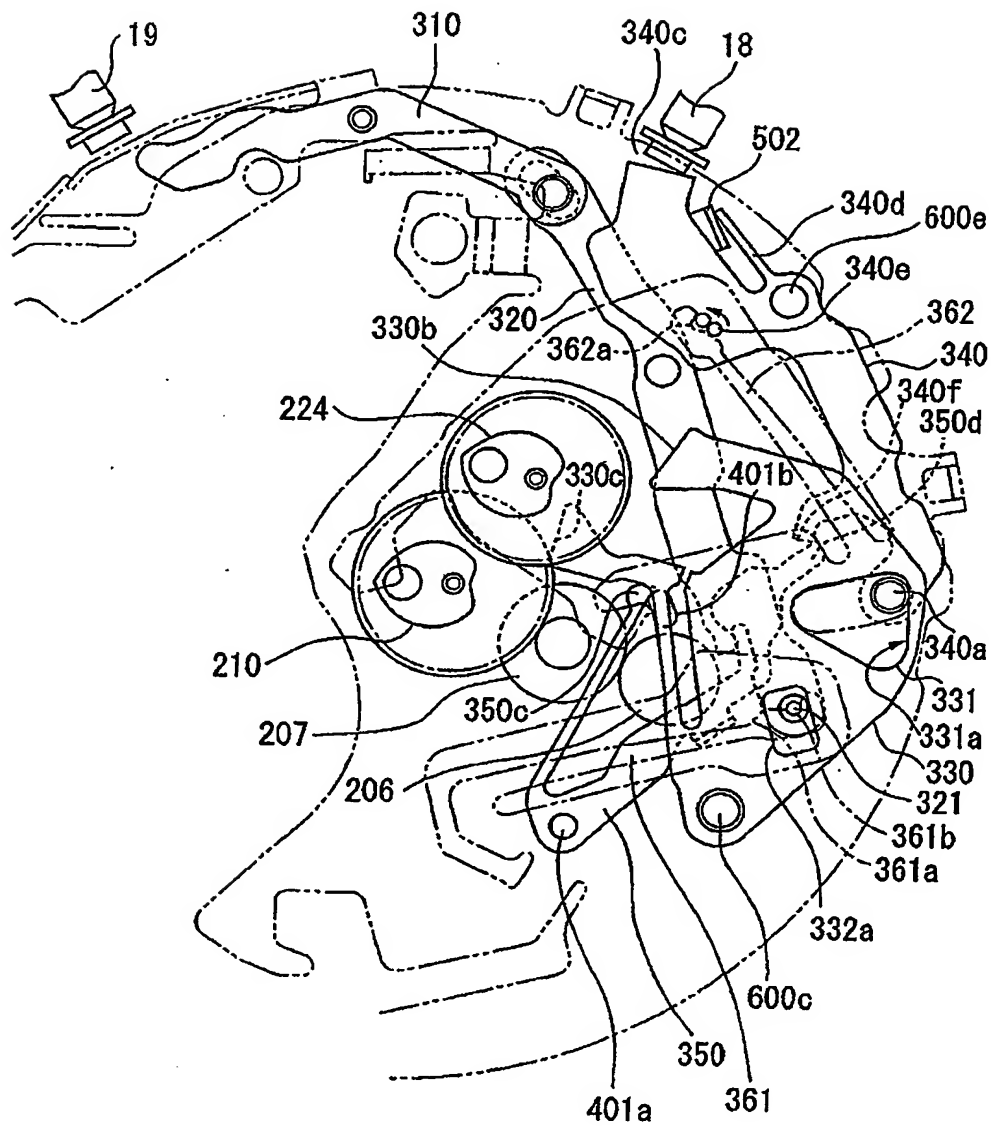




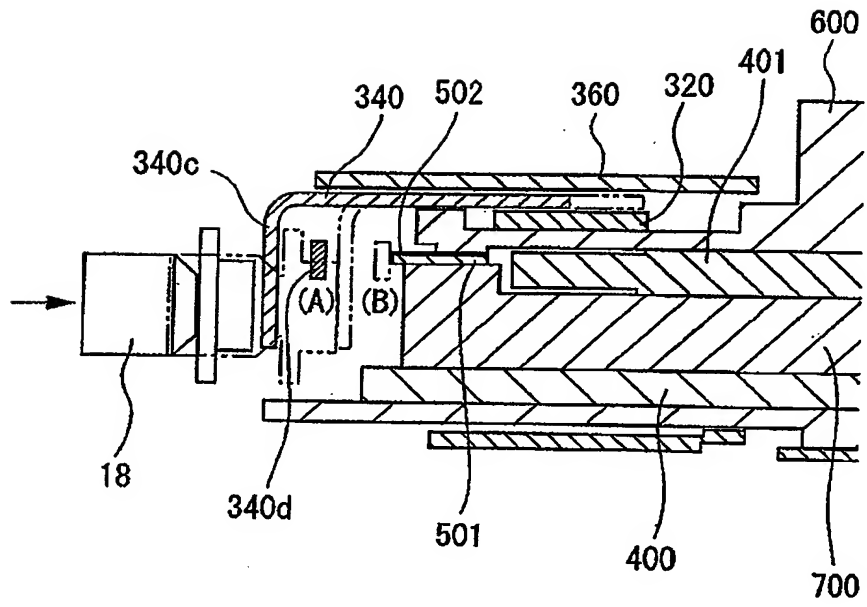
25/28  
FIG. 25



26/28  
FIG. 26



27/28  
FIG. 27



28/28  
FIG. 28

